地質学論集 第 29 号 253-268 ページ, 1988 年 2 月 Mem. Geol. Soc. Japan, No. 29, p. 253-268, February 1988

中部琉球喜界島の地史

----琉球石灰岩産サンゴ化石のウラン系列年代測定のまとめとして---

大村明雄*

Geologic history of the Kikai Island, Central Ryukyus, Japan: Summary of uranium-series dating of fossil corals from the Riukiu Limestone

Akio Omura*

Abstract Uranium-series dating of fifty-three coral samples imply that the Pleistocene Riukiu Limestone (Hanzawa, 1935) on Kikai Island, Central Ryukyus, can be generally divided into two members. The one is Middle Pleistocene in age, assigned to older than 250 ka B. P. by the ²³⁰Th/²³⁴U method, although very limited part of this member seems to be formed during the penultimate interglacial, about 200 ka B. P. The other, formed after the last interglacial, is composed of five reef complexes, each of which was dated to be ca. 40, 50 to 65, ca. 83, ca. 101, and 120 to 130 ka B. P., respectively. Overlaying directly the basement, Upper Pliocene Somachi Formation (Nakagawa, 1969), the Middle Pleistocene Member composes the major part of the Riukiu Limestone in the extensive area on the island. On the contrary, every one of the Upper Pleistocene reef complexes is likely to be preserved as a small-scaled limestone unit and to have the relation of paraconformity to the Middle Pleistocene Member. The Riukiu Limestone on Kikai is thus considered to have been formed during seven stages of high sea stand, three interglacials correlative to the oxygen isotopic stages 5, 7, and probably 9, and four interstadials after the last interglacial.

Because three coral samples dated to be 121 ± 5 , 126 ± 6 , and 138 ± 5 ka, occurred on the highest terrace (Hyakunodai) including the highest point (224 m in altitude) of the island, there is very little doubt that Kikai had been entirely submerged during the last interglacial. After that, the island has gradually increased in size with the apparent lowering of sea level.

The present elevation of uplifted coral reefs dated suggests that Kikai has been highly upheaved during the last 120~130 ka in comparison with upheaval of Hateruma. For instance, the difference of more than 170 m can be seen between Kikai and Hateruma Islands on height of the reef formed during the last interglacial. The principal cause of such a great discrepancy is to be sought of the difference in vertical displacement between two islands. The difference of elevation speed estimated for several stages suggests that the rate of vertical displacement has not necessarily been uniform during the last 130 ka and has gradually increased up to the present. The upheaval of Kikai is thought to have started after formation of the Middle Pleistocene Member dated as more than 250 ka B. P. by the ²³⁰Th/²³⁴U method and 400~500 ka B. P. by the ESR method.

はじめに

喜界島は、 奄美大島笠利半島の東方約 20 km に位置

し, 東経 129°58.9'・北緯 28°19.1' の地点を中心として, 北東~南西方向に細長く延びる. その長径は約 15 km, 北部に比べ島の南部が幅広く(最大幅約 6.8 km), 面積はおおよそ 56 km² である. 本島は概して平坦であるが, 早町から浦原に至る 東岸側に, 標高差約 200 m

^{*} 金沢大学理学部地学教室. Department of Earth Sciences, Faculty of Science, Kanazawa University

254

に達する急崖が島の伸長方向と並行して連続する. その 急崖の頂上部を成す平坦面(百之台)上に、島の最高地点 (海抜高度 224 m)があり、百之台から西方に向けて順次 低下していく 顕著な 段階状の 地形が 南部地域でみられ る. 本島の海岸線には、小規模ながら数段に細分できる 最高高度 10~15 m の段丘群が全島を取り巻いて発達す る. また, これらの段丘を切るサンゴ礁地形特有の縁脚 --縁溝系(groove and spur system)が、主に西側海岸で みられ、それらの海側への延長部に現在サンゴ礁が形成 されつつある.

本島の地質に関する多数の報告の中で、とくに HANzawa (1935) による研究が古くから注目されてきた. 彼 は、本島を被覆する石灰岩を、琉球石灰岩(Riukiu Limestone)と隆起サンゴ礁石灰岩(Raised Coral Reef Limestone) に二分し、前者の形成時代が更新世、後者が完 新世に 裾礁として島の 周囲に 形成されたとした. その 後,中川(1969)は本島上の更新統を琉球層群(Ryukyu Group) と再定義し、下位から百之台層(Hyakunodai Formation) ・ 湾層(Wan Formation) および低位段丘堆 精物(Lower Terrace Deposit)の3層に細分した. そし て、百之台層がのる平坦面を百之台段丘と長峰段丘に分 け、 湾層によって 構成される 平坦面を川峰段丘と 呼ん だ、さらに、徳之島・沖永良部島および与論島において も, 更新統が分布する平坦面高度を明確にしながら(中 川, 1967), それぞれの島に露出する更新統を morphostratigraphical な手法で対比することを試みた.一方, 小西(1967)は石灰岩の岩相と構成生物相とに注目した調 香の結果として(SCHLANGER & KONISHI, 1966), 本島 上の更新統に対する Hanzawa (1935)の琉球石灰岩とい う地層名を残しながら、新旧2つの部層(琉球石灰岩古 期および新期部層) に分けた. また, 中川(1967)の湾層 の一部に不整合にそれを被覆する若い地層を識別し、別 の lithostratigraphic unit (荒木石灰岩)を独立させた. さ らに、本島の更新統形成年代の推定に初めて放射年代測 定(Komura & Sakanoue, 1967: による 230Th/234U と ²³¹Pa/²³⁵U 法)結果を導入して, 琉球石灰岩古期部層・ 新期部層および荒木石灰岩の形成が、それぞれ 20 万年 以上前・55,000~70,000 年前・40,000~45,000 年前と 推定した、このような放射年代測定法の適用によって琉 球石灰岩の 国際的な 対比を 可能にするとともに、 小西 (1967)は、各層の堆積深度を構成生物種や産状などから 判断し、加えて、それらの分布高度および推定される当 時の海水面高度から地殻変動量あるいは、その量と経年 期間より 計算できる 地殻変動率を 求める一般則を 提唱 した。その後、上記方法による琉球石灰岩の放射年代測 定をさらに発展させ、喜界島が最終間氷期以降 1~2 m/ 1,000 y といった, 南西諸島の他の島々ではみられない 高い変動率で隆起し続けてきたことを明らかにした (Konishi et al., 1970, 1974). このオーダーの隆起速度 は、¹⁴C 法適用による完新統隆起サンゴ礁石灰岩の研究 でも確認されている(例えば、太田ほか、1978). 最近で は、上記の ²³⁰Th/²³⁴U および ²³¹Pa/²³⁵U 法以外にも、 電子スピン共鳴(ESR)年代測定法が適用され始め、本島 上の琉球石灰岩の形成年代がより詳しく解明されつつあ る(例えば、IKEYA & OHMURA, 1983, など).

本小論では、筆者がこれまでに喜界島の琉球石灰岩か ら得たすべての ²³⁰Th/²³⁴U 年代値を, ²³¹Pa/²³⁵U 年代 値および研究協力者によって求められた ESR 年代値と ともにまとめて報告する. なお, ここで示す ²³⁰Th/²³⁴U 年代値の中には、すでに報告済みのものもあるが、それ らについては、USIP プロジェクト(大村、1982)におけ る申し合わせに従って再計算したため、以前の報告値と 異なるものがある. 琉球石灰岩の形成史を細部にわたっ て検討することは、鮮新統早町層(中川、1969)堆積後、 本島がどのような地史を経て現在に至っているかを知る ためには極めて有効である. とくに、ここでは、喜界島 の更新統琉球石灰岩を、西インド諸島 Barbados 島・ニ ューギニア Huon 半島および 本邦最南端の 波照間島で 知られている更新統の隆起サンゴ礁と対比させながら, 小西(1967)および Konishi et al.(1970, 1974)によって 指摘された他島にはみられない地殻変動の実態とその開 始時期などについて考察する.

年代測定用試料

本論で述べる喜界島の琉球石灰岩産年代測定試料は、 Table 1 に示した合計 53 個の, すべてが石サンゴ化石 である. 表中には化石種を属レベルの分類単位で示した が、 うち3属3種の計6試料(Trochocyathus hanzawai・ Micrabacia japonica および Flabellum ruburum)が単体の 非造礁性 サンゴのほか、 残り 47 試料はすべて 造礁性 群体 サンゴ である. これらのうち、Goniastrea・Porites・ Favites·Favia および Montipora の5属は、とくに喜界 島の琉球石灰岩中に普遍的にみられる種類のサンゴとい える. 分析試料については、できるだけ島の全域で、し かも後述する数段の段丘面それぞれからと, 可能な限り 広範にわたって採集するように心懸けてきた.しかし, 海岸部に 露出する 隆起サンゴ礁石灰岩の 場合とは 異な り、島内における琉球石灰岩の露出が必ずしも良くない ため、現在までに年代測定用の試料が得られたのはFig. 1 に示した合計 35 地点である.

中部琉球喜界島の地史

Table 1 List of the Pleistocene coral samples mentioned in this study.

Code No.	Sample No.	Genera	Elevation	Reference †
OA037	CK-14	<u>Favites</u>	28 m	(1)
OA038	CK-15	Montipora	26	(1)
OA045	CK-19	Favia	25	(1)
OA047	CK-20	Montipora	170	(1)
OA050	CK-21	Montastrea	40	(1)
OA051	CK-13	Favites	28	· (i)
OA052	CK-22	Montipora	40	(2)
OA053	CK-23	Montipora	40	(4)
OA055	CK-25	Favites	27	(i)
OA066	CK-29	The Control of the Co	120	(i)
OA073	CK-32	<u>Montipora</u>	170	(i)
OA078	CK-34	Favia	50	(i)
080AO	67-8-27-1	Montipora	120	(1)
OA117	CK-24	<u>Favia</u>	65	(1)
OA118	CK-30	Montipora	140	(i)
OA121	CK-40	<u>Favia</u>	10	(i)
OA122	CK-41	<u>Montastrea</u>	iŏ	(i)
A0007	75-4-1-3A	Goniastrea	170	(4)
A0009	75-4-1-3B	Goniastrea	170	(4)
A0014	75-3-26-1a	Trochocyathus	40	(4)
A0015	75-3-26-1b	<u>Micrabacia</u>	40	(3) (3)
A0016	75-3-26-1c	Flabellum	40	(3)
A0017	75-3-26-1a	Trochocyathus	40 40	(3) (3)
A0017 A0018	75-3-26-1 a 75-3-26-1 b		40 40	(3)
A0019	75-3-26-1c	<u>Micrabacia</u>	40 40	(3) (3)
A0019 A0084	K-C-11	<u>Flabellum</u> Porites		(3)
A0084 A0086	K-C-10		210 120	(4)
A0087	K-C-5	Montipora Farritas		(4)
A0087 A0088	K-C-3	<u>Favites</u>	110	(4)
A0089	K-C-12	<u>Montipora</u>	25 25	(4)
A0099		Porites Montines	25 25	(4)
A0090 A0091	K-C-13 K-C-14	Montipora Conjustant	25 25	(4)
A0091 A0092	K-C-18	<u>Goniastrea</u>	25 20	(4)
A0150	K-C-26	<u>Galaxea</u>		(4)
		Porites Porites	140	(4)
AO151	K-C-27	<u>Porites</u>	140	(4)
AO152	K-C-28	<u>Montastrea</u>	25	(4)
AO170	K-C-29	<u>Favia</u>	33	(4)
A0171	K-C-30	<u>Favia</u>	135	(4)
A0172	K-C-31	<u>Montipora</u>	62	(4)
A0173	K-C-32	<u>Montipora</u>	72 72	(4)
A0174	K-C-33	<u>Montipora</u>	72	(4)
A0239	84-11-15-1	<u>Montastrea</u>	205	
A0246	84-11-15-3	<u>Porites</u>	170	
A0247	84-11-15-2	<u>Porites</u>	25	
A0248	84-11-16-3	Goniastrea	170	
A0249	84-11-16-2	<u>Montipora</u>	150	
AO250	84-11-15-4	<u>Favia</u>	145	
AO257	84-11-14-3	<u>Porites</u>	140	
A0258	84-11-16-1	<u>Montipora</u>	150	
A0260	84-11-14-4	<u>Montipora</u>	150	
A0264	84-11-14-2	<u>Porites</u>	170	
A0266	84-11-14-1	<u>Porites</u>	200	
A0268	84-11-15-5	Porites	205	

[References; (1), Konishi et al., 1974; (2), Omura & Konishi, 1970; (3), Omura, 1983; (4), Omura et al., 1985; others, this study.]

一般に、化石生物の放射年代値から、それらを含む地層の形成年代を推定するには、年代測定に用いられた生物遺骸の産状に注意を払わなければならない。生活していた場所から移動されずにそのまま化石となり保存されてきた原地性の(autochthonous)試料は、それを含む地層

の形成年代を記録しているといえるが、 異地性の (allochthonous) 化石試料は正しい形成年代ではなく、 maximum age を示す. すなわち、 異地性化石試料から求めた年代は、 それを含んでいた地層の形成年代とほぼ同じ 場合もあるが、一般にはより古いと考えられるからであ

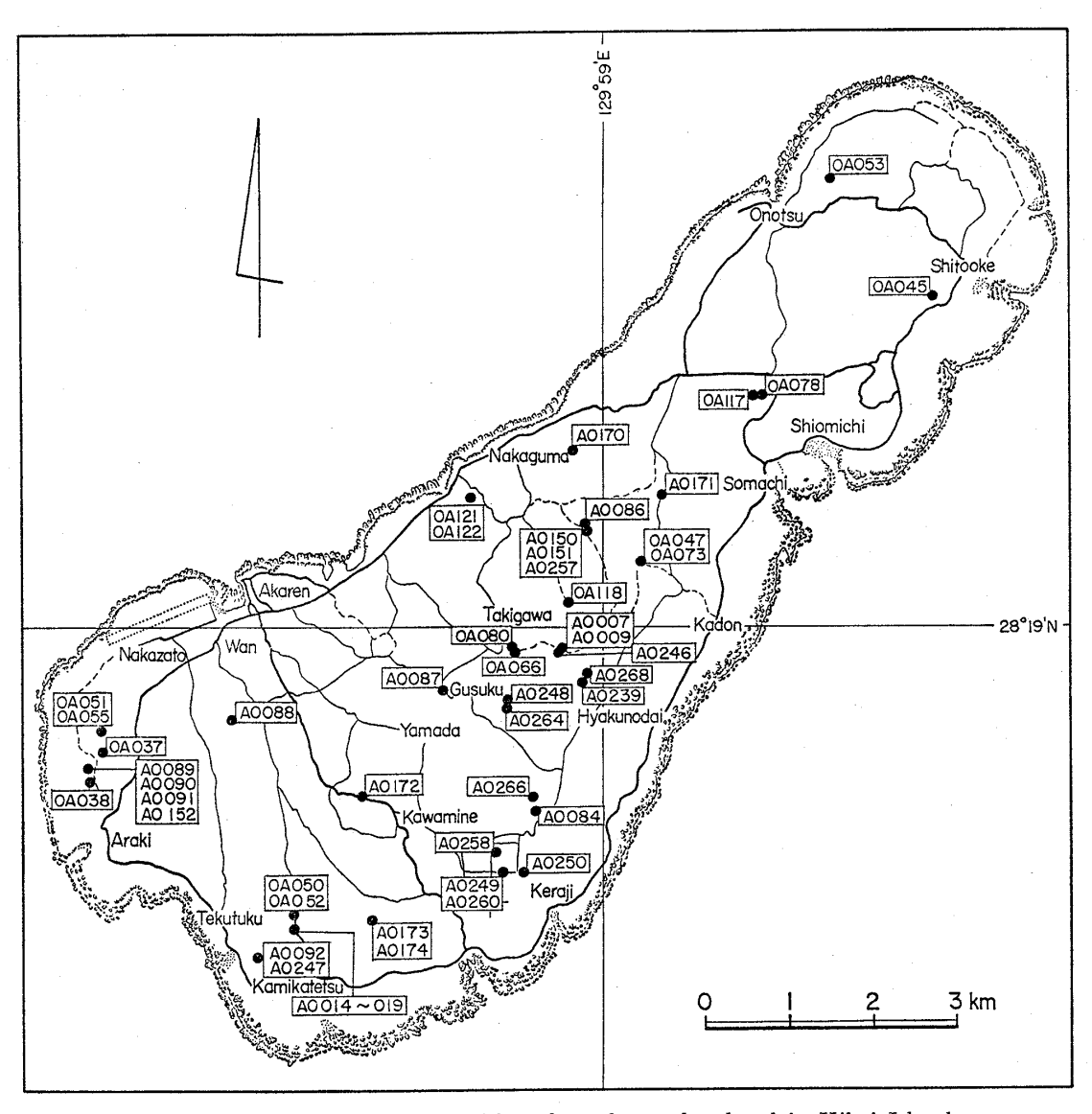


Fig. 1 Map showing the localities of coral samples dated in Kikai Island.

る. Table 1 に挙げた群体サンゴ試料のうち, OA053・AO089・AO152・AO250 の4試料は明らかに異地性化石であるが,これを除いた 43 試料は,個々の成長方位・全体の外形や底質との接触関係および含有石灰岩の岩相などの観察に基づいて,原地性と判断されたものである.

野外において、正しい ²³⁰Th/²³⁴U 年代を示す化石試料を探す際には、試料の続成変質について充分注意しなければならない。変質した 試料には、ウランおよびトリウム同位体に関する閉鎖系が期待できないからである。石サンゴ類はアラレ石質の骨格を造るが、アラレ石は普通の地表条件(常温常圧)における準安定相(metastable phase)であり、続成変質を被ると安定な低 Mg 方解石に変化する。また、多孔質のサンゴ骨格中には、通気帯(vadose zone)における続成変質の結果として、低

Mg 方解石から成るセメント物質(sparry calcite)が、しばしば空隙を埋めるように形成されている。したがって、本来アラレ石として形成された化石サンゴ試料の、現在の鉱物組成(実際は、低 Mg 方解石/アラレ石の重量比)を調べることが、続成変質の有無を知る有効な手段の一つとなる。本論で扱った全試料のうち、AO089と AO091の2試料中から5~7重量%の低 Mg 方解石が Davies and Hooper(1963)の粉末X線分析法で検出されたが、その他の51 試料には5%を超える低 Mg 方解石が見い出されなかった。このことは、Table 1 に挙げたほとんどこの試料が、上述のような続成変質を被っていないことを意味する。

ここでは、試料処理方法やウランおよびトリウム同位 体の測定方法について詳しく述べないが、 Table 1 お よび Fig. 1 中の試料略式番号(code number)の OA- および AO- それぞれが,異なった処理方法によって分析されたことを表している.すなわち,OA-系試料については,既知量の 232 U および 234 Th を含む標準溶液を別々に準備して化学収率を知るためのトレーサーとして用い,二重グリッド 電離箱使用による α スペクトル法で各同位体量を測定した (OMURA, 1976). それに対し,AO-系試料の場合は,試料処理に 232 U とほぼ平衡量の 228 Th を含んだスパイク溶液をトレーサーとして利用し, α スパクトル分析にシリコン表面障壁型半導体検出器を用いた (大村, 1982).

ウラン系列年代測定

ウランおよびトリウム同位体に関する分析結果を、次式によって計算した年代値とともに、Table 2 にまとめて示す.

$$\begin{split} & (^{230}\text{Th}/^{234}\text{U}) = [1/(^{234}\text{U}/^{238}\text{U})] (1 - e^{-\lambda_0 t}) \\ & + [1 - \{1/(^{234}\text{U}/^{238}\text{U})\}] \cdot \{\lambda_0/(\lambda_0 - \lambda_4)\} \cdot \\ & \times \{1 - e^{-(\lambda_0 - \lambda_4)t}\} \end{split}$$

上式中の(230 Th/ 334 U)と(234 U/ 238 U)は、各放射能比(activity ratio)を意味し、 λ_0 および λ_4 は、それぞれ 230 Th と 234 U の壊変定数($\lambda_0=9.22\times10^{-6}$ yr $^{-1}$; $\lambda_4=2.79\times10^{-6}$ yr $^{-1}$)を指す、なお、表中の各値に付した誤差は、 α スペクトル法による計数値から 得られた統計誤差(1σ)である.

分析されたすべての 礁性サンゴ化石中のウラン(238 U) 量は、平均 $^{3.16\pm0.16}$ ppm で、最も少ないのは OA117 試料の $^{2.30\pm0.10}$ ppm, 最高は AO172 試料の $^{4.66\pm0.05}$ ppm である。また、ウラン量を比較すると、現在 南西 諸島域に生息している サンゴの 骨格(平均 $^{2.35\pm0.04}$ ppm; OMURA、1976)の方が見掛け上幾分少ないようにもみえる。このことは、死後の時間経過とともに、化石中に ウラン同位体が富化(enrich) されてきたことを意味するのかもしれない。いいかえると、分析された化石試料が、ウラン同位体に関して閉鎖系でない可能性もある。ただし、 234 U/ 238 U 放射能比についてみれば、古い年代値を示した試料ほど概して低い(1 に近い)値を示す。とくに、 230 Th/ 234 U 法の測定限界(おおよそ 30 万年)より古い 試料中の同比が $^{1.00\pm0.01}$ から $^{1.04\pm0.01}$ まで(平均 $^{1.02\pm0.03}$)と低い。

平均的な海水では、²³⁸U に対し 14~15% 過剰な ²³⁴U(excess ²³⁴U)が含まれていることが知られている. (Thurber, 1962: Ku et al., 1977). そのために、海 棲生物硬組織中の ²³⁴U/²³⁸U 放射能比が 1.14~1.15 の 値を示し、この過剰 ²³⁴U は時間の経過とともに ²³⁸U との永続平衡に向けて(²³⁴U/²⁴⁸U 放射能比が 1 に付近く

ように)減衰していくとされている(例えば、VBBH, 1966, など). 上に示した 234 U/ 238 U 放射能比と年代値の間に みられる逆相関関係はそのためであり、このことは、ウラン同位体に関する試料の閉鎖系を支持しているといえよう.

²³⁰Th/²³⁴U 年代 測定法の 化石生物への 適用にとって 重要な前提条件の一つは, 成育時(t=0 当時)骨格中に 230Th が全く取り込まれていなかったことである. この ような条件を満たさない試料, すなわち, 初生的に230Th を取り込んだ試料は, 232Th も含むはずである. なぜな ら,数万~数十万の時間経過後,初生的 ²³⁰Th (initial ionium) が減衰していくのに対し、 はるかに長い半減期 (1.4×1010 年)を有する 232Th は、見掛け上、壊変によ る量的変化(減少)をしないからである。 全試料の 47% にあたる 25 試料からは、 測定可能量(0.02 ppm 以上) の 232Th が検出されなかったし、残り 28 試料につい ても, 0.1 ppm 以上の ²³²Th を含む 2 試料(OA052 お よび AO170 試料)を除けば、ほとんどが 10-2 ppm オ ーダーの極めて少量の 232Th しか 含まないことから, 初生的 230Th に関する 前提条件にはほとんど 問題がな い. また, もっとも多い AO170 試料でも, 0.162± 0.011 ppm の ²³²Th が検出されたにすぎない. これと 同程度の ²³²Th を含む試料中の初生的 ²³⁰Th 量を, 海 水中の ²³⁰Th/²³²Th 放射能比から推定し, さらに, その うち現在まで崩壊せずに残存している量を求めて, ²³⁴U の壊変に起因する 230Th 量と比較すると、ほとんど無視 できるほど少ない(OMURA, 1976). このように, ²³²Th の存在は、試料が初生的に 230Th を含んでいたことを示 唆するといえるが、あるいは、続成変質の結果としての 二次的な トリウム 同位体の 混入を 意味しているかもし れない. すなわち, 測定限界以上の 232Th が 検出された 試料が、 実は、 トリウム同位体に 関して 開放系だった という 可能性である. この 点については, ²³⁰Th/²³²Th 放射能比が用いて議論できる. もし, 二次的にトリウム 同位体が混入あるいは溶脱していれば、この比は天然水 中の 1~2(Kaufman & Broecker, 1965; Thurber, et al., 1965; Vallentine & Veeh, 1969; Omura, 1976) といった値に近くなるといわれている. しかし, ²³²Th が検出された試料中の同比は、20.6±4.9 を最低に、最 高 634±111 までと極めて高い。このことから、試料に 含まれるほとんどすべての ²³⁰Th が、 ²³⁴U の壊変によ って形成されたものと考えて差し支えない(THURBER et al., 1965).

結局,以上のような分析結果は,ほとんどの試料が死後の続成変質を被ることなく,ウランおよびトリウム同

Table 2 Isotopic composition and estimated $^{230}\mathrm{Th}/^{234}\mathrm{U}$ ages of Pleistocene coral samples from Kikai Island.

Code No.	(bbw)	²³² Th (ppm)	234U/238U (act:	²³⁰ Th/ ²³² Th ivity r	230Th/234U atio)	²³⁰ Th/ ²³⁴ U Age (ka)
OA045	2.60 ± 0.08	0.0274±0.0065	1.08 ± 0.04	20.6 ± 4.9	0.296 ± 0.009	38 ± 2
OA051	3.06 ± 0.08	0.0260 ± 0.0016	1.09 ± 0.04	28.3 ± 1.8	0.301 ± 0.011	39 ± 2
A0092	3.26 ± 0.04	< 0.02	1.12 ± 0.01		0.317 ± 0.022	41 ± 4
OA037	3.54 ± 0.14	0.0225 ± 0.0020	1.07 ± 0.06	164 ± 15	0.320 ± 0.014	42 ± 3
OA055	3.04 ± 0.14 3.04 ± 0.11	0.0229 ± 0.0020 0.0290 ± 0.0009	1.05 ± 0.05	26.7 ± 1.1	0.320 ± 0.014 0.331 ± 0.014	42 ± 3 43 ± 3
AO247	2.81 ± 0.06	0.0363 ± 0.0061	1.12 ± 0.02	92.7 ± 15.6	0.344 ± 0.010	
A0090	4.16 ± 0.07	⟨ 0.02	1.12 ± 0.02 1.12 ± 0.02	92.7 ± 13.6 —	0.344 ± 0.010 0.346 ± 0.032	45 ± 2 46 ± 5
OA078	3.16 ± 0.06	< 0.02	1.05 ± 0.03		0.370 ± 0.010	50 ± 2
OA121	2.67 ± 0.11	< 0.02	1.07 ± 0.06		0.370 ± 0.016	50 ± 3
OA122	3.17 ± 0.04	0.0598 ± 0.0052	1.12 ± 0.02	68.7 ± 6.1	0.376 ± 0.008	51 ± 2
8800A	4.17 ± 0.03	< 0.02	1.13 ± 0.01		0.376 ± 0.020	51 ± 3
A0091	3.24 ± 0.05	< 0.02	1.12 ± 0.01		0.376 ± 0.023	51 ± 4
OA050	3.42 ± 0.06	< 0.02	1.02 ± 0.03		0.392 ± 0.010	54 ± 2
OA052	3.39 ± 0.17	0.144 ± 0.013	1.11 ± 0.08	31.8 ± 2.9	0.395 ± 0.021	54 ± 4
OA038	3.78 ± 0.09	0.0535 ± 0.0014	1.14 ± 0.00	88.8 ± 2.5	0.399 ± 0.021	55 ± 2
AO152	3.70 ± 0.03 3.32 ± 0.03	0.0535 ± 0.0014 0.0544 ± 0.0063	1.10 ± 0.01	83.9 ± 9.7	0.401 ± 0.007	55 ± 2
A0015	4.42 ± 0.12	< 0.02	1.13 ± 0.02		0.513 ± 0.020	77 ± 4
A0014	3.56 ± 0.08	< 0.02	1.10 ± 0.02	-	0.521 ± 0.015	79 ± 4
A0017	3.46 ± 0.06	< 0.02	1.11 ± 0.02	And Advances	0.521 ± 0.014	79 ± 3
A0018	4.46 ± 0.11	< 0.02	1.09 ± 0.02	MATERIAL PROPERTY AND ADDRESS OF THE PROPERTY ADDRESS OF THE PROPERTY AND ADDRESS OF THE PROPERTY ADDRESS OF THE PROPERTY AND ADDRESS OF THE PROPERTY ADDRESS OF THE PROPERTY AND ADDRESS OF THE PROPERTY ADDRESS OF THE PROPE	0.539 ± 0.017	83 ± 4
A0019	4.34 ± 0.08	< 0.02	1.11 ± 0.02		0.540 ± 0.014	83 ± 3
A0258	4.16 ± 0.06	0.0240 ± 0.0047	1.12 ± 0.01	332 ± 65	0.547 ± 0.011	84 ± 3
10016	3.77 ± 0.10	< 0.02	1.15 ± 0.02		0.553 ± 0.014	85 ± 5
A0260	2.93 ± 0.04	< 0.02	1.12 ± 0.01		0.551 ± 0.012	85 ± 3
DA117	2.30 ± 0.10	< 0.02	1.10 ± 0.06		0.552 ± 0.025	86 ± 6
OA066	2.82 ± 0.05	0.0730 ± 0.0021	1.06 ± 0.03	16.7 ± 0.6	0.561 ± 0.016	88 ± 4
A0249	$\textbf{3.72} \pm \textbf{0.05}$	< 0.02	1.12 ± 0.01		0.566 ± 0.013	89 ± 3
DA118	$\textbf{2.57} \pm \textbf{0.07}$	0.0674 ± 0.0052	1.15 ± 0.05	81.8 ± 6.4	$\textbf{0.603} \pm \textbf{0.050}$	98 ± 8
A0007	3.19 ± 0.10	0.0245 ± 0.0068	1.12 ± 0.03	273 ± 76	0.602 ± 0.039	99 ± 9
A0264	2.73 ± 0.06	< 0.02	1.09 ± 0.02		0.609 ± 0.017	100 ± 5
A0246	2.76 ± 0.05	< 0.02	1.11 ± 0.02		0.622 ± 0.015	103 ± 4
A0009	3.23 ± 0.07	< 0.02	1.08 ± 0.05		0.621 ± 0.038	104 +11-10
080AC	4.52 ± 0.11	$\textbf{0.0250} \!\pm\! \textbf{0.0022}$	1.01 ± 0.04	87.2 ± 76.8	$\textbf{0.653} \pm \textbf{0.020}$	115 ± 7
A0266	2.62 ± 0.03	0.0509 ± 0.0060	1.12 ± 0.01	122 ± 14	0.683 ± 0.013	121 ± 5
A0239	2.74 ± 0.07	0.0265 ± 0.0037	1.11 ± 0.01	247 ± 34	0.696 ± 0.018	126 ± 6
DA073	3.15 ± 0.08	0.0420 ± 0.0030	1.02 ± 0.03	38.8 ± 3.0	0.692 ± 0.026	127 ± 9
DA047	3.60 ± 0.04	0.0840 ± 0.0015	1.07 ± 0.02	23.8 ± 0.5	0.708 ± 0.011	131 ± 4
A0250	2.78 ± 0.03	< 0.02	1.09 ± 0.01	 '	0.726 ± 0.017	137 ± 7
AO268	2.71 ± 0.03	0.0217 ± 0.0038	1.12 ± 0.01	320 ± 56	0.734 ± 0.013	138 ± 5
DA053	3.10 ± 0.09	0.0361 ± 0.0021	1.03 ± 0.04	234 ± 14	$\textbf{0.853} \pm \textbf{0.030}$	204 +23-19
10086	3.80 ± 0.04	< 0.02	1.01 ± 0.01		0.911 ± 0.015	259 +23-17
A0248	2.86 ± 0.05	0.0318 ± 0.0050	1.02 ± 0.02	277 ± 44	0.967 ± 0.021	347 +71-43
10089	2.71 ± 0.03	< 0.02	1.03 ± 0.01	-	0.973 ± 0.017	360 +64-40
10257	2.76 ± 0.04	< 0.02	1.01 ± 0.01		0.970 ± 0.018	364 +77-45
0170	3.44 ± 0.04	0.162 ± 0.011	1.02 ± 0.01	65.6 ± 4.4	0.973 ± 0.016	369 +69-42
0084	2.71 ± 0.03	< 0.02	1.01 ± 0.01		0.981 ± 0.016	409 +120-5
10151	3.13 ± 0.03	0.0242 ± 0.0044	1.02 ± 0.01	417 ± 76	1.01 ± 0.02	> 450
0172	4.66 ± 0.05	0.0233 ± 0.0041	1.02 ± 0.01	634 ± 111	1.01 ± 0.02	> 450
0173	4.16 ± 0.05	0.0210 ± 0.0038	1.00 ± 0.01	620 ± 112	1.01 ± 0.02	> 450
0087	3.08 ± 0.03	< 0.02	1.03 ± 0.01		1.03 ± 0.01	∞
0150	$2.87\ \pm\ 0.03$	0.0278 ± 0.0044	1.04 ± 0.01	354 ± 51	1.06 ± 0.02	∞
0171	3.02 ± 0.04	0.0284 ± 0.0038	1.03 ± 0.01	348 ± 46	1.02 ± 0.02	00
	3.75 ± 0.05	0.0304 ± 0.0049	1.01 ± 0.01	401 ± 65	1.04 ± 0.02	

Table 3 Comparison of ²³⁰Th/²³⁴U, ²³¹Pa/²³⁵U and ESR dates of some coral samples from Kikai Island.

Code No.	²³⁰ Th/ ²³⁴ U Age (ka)	²³¹ Pa/ ²³⁵ U Age (ka)	ESR Age †
OA045	38 ± 2	37 ± 1	1.7
OA043	39 ± 2	36 ± 2	47 ± 4
OA037	42 ± 3	38 ± 2	
OA055	42 ± 3 43 ± 3	41 ± 2	50 ± 1
A0090	46 ± 5	41 ± 2	58 ± 2 49 ± 4
OA121	50 ± 3	53 ± 3	49 ± 4
OA121	50 ± 3	55 ± 2	,
A0088	51 ± 3	JJ ± 4	52 ± 3
A0091	51 ± 4		
OA050	54 ± 2	64 ± 2	50 ± 2
OA052	54 ± 4	64 ± 2 61 ± 6	50 1. 6
OA032	55 ± 2	39 ± 1	59 ± 6
AO152	55 ± 2	. 39 1 1	54 ± 3
OA117	86 ± 6	85 ± 4	<i>3</i> 4 ± 3
OA117	98 ± 8	99 ± 4	
OA047	131 ± 4	128 ± 3	
OA053	204 +23 -19	$\frac{120 \pm 3}{220 \pm 10}$. .
A0086	259 +19 -17		458 ± 24
A0089	360 +64 -40		418 ± 20
A0084	409 +120-55	vedebur	450 ± 27
AO151	> 450		443 ± 29
A0172	> 450	_	532 ± 37
A0173	> 450		500 ± 40
A0087	∞	distance	539 ± 16
AO150	∞		488 ± 12
A0171	∞ .	-	525 ± 40
A0174	∞	Management .	557 ± 37

(ESR dates were determined by K. Ohmura & Y. Sakuramoto of the Dia Consultant Co., Ltd.)

位体に関する閉鎖系として保存されてきたことを示唆している. いいかえると, Table 2 に示したほとんどの年代値は, ²³⁰Th/²³⁴U 年代測定法にとってほぼ理想的な化石試料から求められたため, 充分信頼できるといえる.

ある放射年代値の信頼性を検討する有効な手段の一つは、別の壊変系を用いる方法でも年代値を求め、互いに比較することである。230Th/234U 年代値の信頼性チェックのためには、231Pa/235U 法あるいは 234U/238U 法が利用されてきた(Ku, 1968; VEEH, 1966). 中でも、231Pa/235U 法は、適用できる最適有効範囲が 1~15 万年で、230Th/234U 法のそれとほぼ同じ点、好都合といえる。さらに、これらの方法は、いずれもウラン同位体間やその娘核種との非平衡関係に基づいた方法であるため、試料がウランおよびその娘核種に関して閉鎖系でなければ、決して両者の年代値は一致しない。いいかえると、試料そのものが、先に述べたそれぞれの方法に必要な条件を満たすものであったかを、一挙にチェックすることにも

なる. Table 3 は、 230 Th/ 234 U 年代値が得られた 27 試料について、 231 Pa/ 235 U あるいは ESR 法の適用を試みた結果である. Table 3 中 AO086 以下の 10 試料は、 231 Pa/ 235 U 法の測定限界かそれを超える年代を示すため、ここでの議論から除く. したがって、各年代測定の結果を比較できるのは 17 試料である. 230 Th/ 234 U および 231 Pa/ 235 U 年代値の比較においては、13 試料中2 試料 (OA050・OA038) から一致した年代値を得ることができなかったとはいえ、ほとんどの試料が誤差の範囲内で一致した年代値を示した(Fig. 2). このことは、先に示した 230 Th/ 234 U サンゴ年代値のほとんどが信頼できることを支持している. ESR 年代値も 230 Th/ 234 U 年代値と一致するものが多く、それら自身の確かさを意味するとともに、今後ウラン系列年代値との比較にも充分利用できそうである.

得られた年代値は、 $Table\ 2$ に示したように7 グループにまとめることができる。それらは、 $38,000\pm2,000$ ~

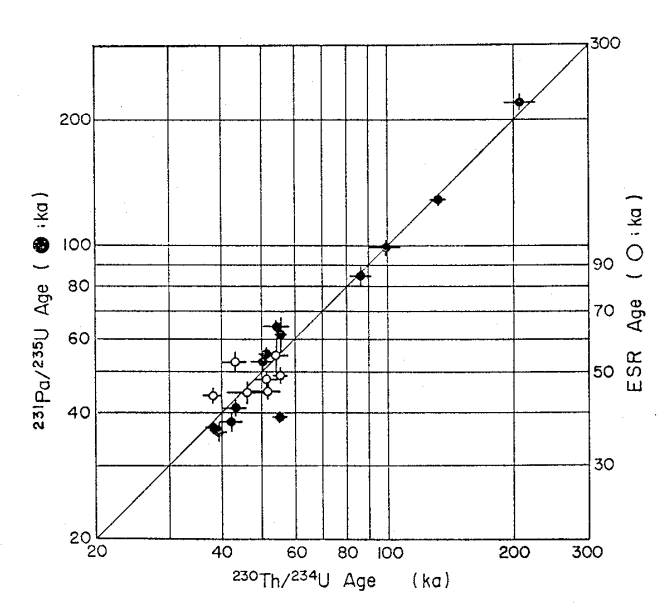


Fig. 2 Relationships between ²³⁰Th/²³⁴U ages and ²³¹Pa/²³⁵U or ESR ages of some coral samples from Kikai Island.

 $46,000\pm5,000$ (平均 $41,000\pm1,000$)年 \cdot 50,000±2,000 \sim 55,000±2,000(53,000±2,000)年 · 77,000±4,000 \sim $89,000 \pm 3,000(83,000 \pm 2,000)$ 年 · 98,000 ± 8,000~ $104,000+11,000-10,000(101,000\pm3,000)$ 年 · 115,000 \pm 7,000~138,000±5,000(129,000±2,000)年 \cdot 204,000 +23,000-19,000 年, そして, おおよそ 25 万年以上の ものといった7グループである.このグループ分けは, 単に年代値だけで行ったものではなく、基本的にはそれ ぞれの試料を得た石灰岩体の岩相区分や分布高度などに 基づいている. 例えば、41,000±1,000 年の平均値を示 した化石試料は、すべて荒木石灰岩から産したものであ り, ここで得られた ²³⁰Th/²³⁴U 年代値から, KONISHI et al.(1974)の 琉球石灰岩新期・中期 および 古期部層の それぞれが、おおよそ 53,000 年前 · 83,000 年前そし て 100,000~140,000 年前に形成されたと結論できそう である. しかし、上記のように、新期部層から得た2試 料(OA050 と OA052)が6万年を超える ²³¹Pa/²³⁵U 年 代(それぞれ 64,000 ± 2,000 年および 61,000 ± 6,000 年)を示したことから、ここではその形成年代を ²³⁰Th/ 234U 平均年代値で限定せず, 50,000~65,000 年前とし ておく. また, 琉球石灰岩古期部層は一括して塗色され ていた岩体が年代的には、平坦面(中川, 1969, の百之 台面)を構成するものと下段の平坦面(長峰面)に続く斜 面を被覆するものとに二分できそうで、前者の形成年代 がおおよそ 129,000 年前,後者がおおよそ 101,000 年 前に形成されたといえる. すなわち, かって KONISHI et al.(1970, 1974)および OMURA et al.(1985)によって

推論されたように、本島の最高地点(海抜 224 m)を含む百之台が、120,000~130,000 年前の、いわゆる最終間氷期(Last Interglacial)には海面下にあったことが今回実証されたことになる.

以上のような 更新世後期の 年代値に 加え、 おおよそ 20 万年と、さらに古い 25 万年以上の年代値も得られ、本島の琉球石灰岩の一部が中部更新統であることが明らかになった (OMURA et al., 1985). 具体的には、OA053 試料から 得られた 20 万年 前後と、 その 他の 13 試料から求められた 230 Th/ 234 U 法の測定限界に近いか、 あるいはそれを超える 年代値が、 そのことを示している (Table 3). とくに 古い 年代を示した 13 試料について、電子スピン共鳴 (ESR) 年代測定法 (IKBYA、1984、 など)の 適用を 試みたところ、 418 ,000 \pm 20,000 年から 557,000 \pm 37,000 年まで (平均 48 7,000 \pm 7,000)年の年代値が得られた。 すなわち、本島の琉球石灰岩中には、酸素安定同位体比ステージ (例えば、 EMILIANI & SHACKLETON、1974) 5 のほか、 7 および 9 あるいはそれより以前に形成されたものもあることが確実となった.

喜界島における琉球石灰岩の形成史および他地域の 更新統隆起サンゴ礁との対比

喜界島が置かれている位置は、現在の西部太平洋域においてサンゴ礁が形成されつつある北限に近い、そのため、現在より寒冷な気候条件下では、本島周辺地域でサンゴ礁の発達は望めない、いいかえれば、本島上に露出する礁複合体としての完新統隆起サンゴ礁石灰岩および更新統琉球石灰岩は、両者とも現在に近いかあるいはより温暖な時期に形成されたものと考えられる。

喜界島の更新統から 得られた 230Th/234U サンゴ年代 値をまとめると、7グループに分けられることはすでに 述べた. したがって、本島上の琉球石灰岩は7回の温暖 期に形成された石灰岩体の集合体であるといえよう. Fig. 3 は、年代的にグループ分けされた 試料の産出位 置を地質断面図上に示したものである. 図中には、おお よそ 20 万年の年代を示した OA053 試料の位置が示さ れていない. それは、この試料が島の北部で採集された 異地性のサンゴ化石であり、その時期に形成された石灰 岩体の詳細(分布や上下層との関係など)が不明のためで ある. 20 万年内外の年代値を示す試料が数多く産出し ないのは, 当時の本島付近に, 独立した石灰岩体を残せ る規模の サンゴ礁が 発達して いなかったためと 思われ る. とはいえ, この年代を示す礁性サンゴが一試料とは いえ産出したことから、広がりは明確でないものの、付 近に浅海環境があったことは確かである.

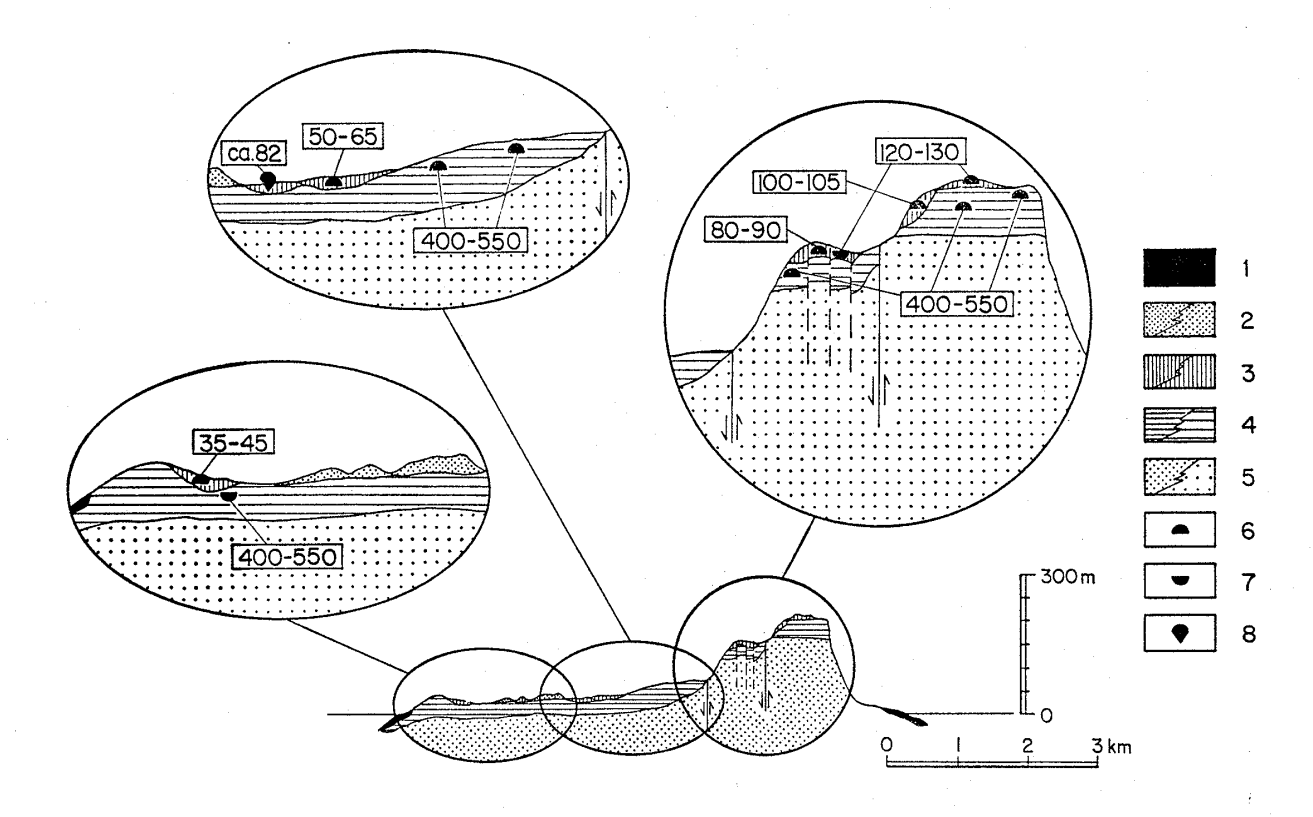


Fig. 3 Geologic cross-section of the southern part of Kikai with the ages of each limestone unit. (1, Holocene Raised Coral Reef Limestone; 2, dune sand; 3, Upper Pleistocene Riukiu limestone, 4, Middle Pleistocene Riukiu Limestone; 5, Pliocene Somachi Formation, 6, autochtonous hermatypic corals dated; 7, allochtonous hermatypic corals dated; 8, ahermatypic solitary corals dated.)

島のほぼ全域で鮮新統早町層を被うのは、40~55万年の ESR 年代を示した中部更新統である。この範囲の年代値を示した試料の産出地点の広がりとそれを含む石灰岩の岩相などから、当時、礁性サンゴが成育できる極浅海環境が本島周辺に広がっていたと推論でき、このような環境下で形成されたサンゴ礁(一つの直径が6.5 km以上の卓礁の可能性もある)性石灰岩が、実は Konishi et al.(1974)によって琉球石灰岩古・中・新期部層および荒木石灰岩と細分された上部更新統の基底部を構成していると考えられる(Omura et al.,1985). 結論的には、本島上の琉球石灰岩が大きく中部および上部更新統に二分され、後者は前者を薄く被うだけで、いずれの段丘ともそれら両者で構成されているといえそうである.

島のほぼ全域に広がる 40~55 万年前の中部更新統に対し、上部更新統は、現在の地形と調和的に分布する. すなわち、12~13 万年前の 最終間氷期以降に形成された岩体が、島の最上位段丘を構成し、それより若いものほど下位の段丘を作っている. 上述のように、いずれもが薄く、現在の地表部だけを構成し、その中には、より

上位の 段丘構成物由来の 異地性 サンゴ化石を 時折含む (Fig. 3). 川嶺部落を中心として南北方向に延びる平坦 面上には、上部更新統の分布がまだ確認できない. ある いは、この段丘面は侵食地形なのかもしれない. また、 上嘉鉄部落北方約 650 m · 高度 40 m 付近に分布する 特徴的な岩相(典型的な Dunham, 1962, の grainstone) から産した単体サンゴ6試料が、平均82,000±2,000年 の年代値を示し、この値は城久部落南部の平坦面構成石 灰岩から 採集した 礁性サンゴ試料の 年代とほぼ 一致す る. このことから、城久南部にみられる礁性石灰岩がサ ンゴ礁として形成されていた当時,上記の grainstone は その礁前縁相(fore-reef facies)として堆積したものと考 えられる(OMURA, 1983). この grainstone と近接して, 同じ平坦面上には、50,000~65,000 年前に形成された 岩体が露出する。形成時期と堆積深度が全く異なると思 われる両者が同じ段丘面を構成している事実は、上嘉鉄 北方に広がる高度約 40 m の平坦面の一部は堆積面,一 部が侵食面であることを示唆しているように思われる. 平均 41,000±1,000 年の年代値を示した荒木石灰岩は, 分布高度が 30 m を超えることはない.この岩体は,島の南西端に位置する荒木部落周辺を模式地として分布するが,そのほか手久津部落南方や志戸桶部落付近などにも小規模に点在する.

寒冷期,例えば最終間氷期以前(12~13万年前から20 万年前の間など)の低海水準期に、一部が島の形をなし ていた可能性もあるが、本島が高海水準期を通して海面 上に姿を現すようになったのは、最終間氷期終了後と考 えられる. 前記のような7回の温暖期に形成された各岩 体の分布状態(Fig. 3)から、最終間氷期を含めそれ以降 5回の温暖期における海水面到達高度を推定することは 十分可能である. 例えば, 平均83,000±2,000年の年代 値を示したのは、上から2段目の平坦面(中川、1969、 の長峰段丘)あるいはそれに連続する部分からの5個の 礁性サンゴ試料と, 高度約 40 m の上嘉鉄北方の平坦面 上から産した6個の単体サンゴ試料であった。そして, 前者の礁嶺あるいはその付近という成育環境に対し、後 者は深度 120 m 以浅の礁前縁で生息していたと 推論さ れる(OMURA, 1983). いいかえれば, 当時, 海水面は現 在の海抜高度にして約 185 m の地点にまで到達してい て、百之台が、海面上に姿を現していたことになる。こ のようにみると、最終間氷期以降、順次訪れた亜間氷期 (Interstadial)ごとに、本島の面積を次第に増大させてき た海退の様子を理解しやすい(Fig. 4).

ウラン系列年代測定法の適用によって, 形成年代が更 新世中期~後期における高海水準期とされた隆起サンゴ 礁は、西インド諸島 Barbados 島およびニューギニア Huon 半島で知られてきた(Broecker et al., 1968; Ku, 1968; Mesolella et al., 1969; James et al., 1971; Bender et al., 1979; Chappell, 1974; Bloom et al., 1974;など). また、同じ南西諸島に属する本邦最南端 の波照間島も、喜界島同様、更新世中期および後期に形 成されたいくつかの礁複合体から成る琉球石灰岩によっ て被覆されている(小西, 1980; Omura, 1984). Table 4 は、ウラン系列年代に基づいて、それぞれの場所にお ける隆起サンゴ礁の対比を行った結果である. なお,喜 界島上の琉球石灰岩については、少なくとも Konishi et al. (1974)の区分(4単位)より多くの time stratigraphic unit に分ける必要があるものの、個々の unit の島 全域にわたる広がりや他の unit との関係が明確でない ため、 波照間島同様、 とくに新たに 命名せず、 ここで は、年代的区分に止どめた、Barbados 島および Huon 半島にも、酸素同位体ステージ7相当の、更新世中期に 形成された隆起サンゴ礁の存在は確認されているが(例 えば、CHAPPELL、1974; FAIRBANKS & MATTHEWS,

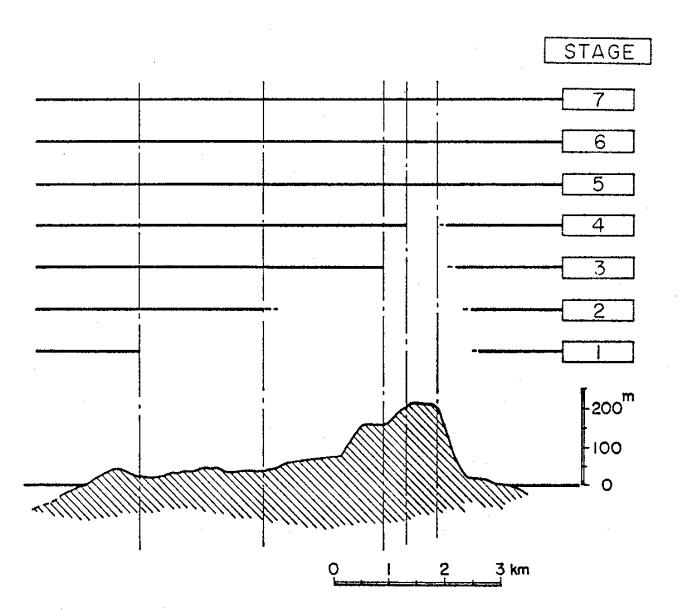


Fig. 4 A topographic cross-section of the southern part of Kikai, showing the sea level of each stage in Pleistocene.

1978),それらが上部更新統と統一的に命名されていないので,Table 4 のような表現になった.また,Huon半島においては,最終間氷期のものが Reef Complex $\mbox{\it VIII}$ 加 に二分できることが指摘されているものの (Bloom et al., 1974),喜界島においては,そのような細分ができないため,Table 4 では Reef Complex $\mbox{\it VIII}$ として一括した.

このようにみると、喜界島の琉球石灰岩中のもっとも新しい2つの岩体と対比できる隆起サンゴ礁が認められるのは Huon 半島のみで、Barbados 島や波照間島では、その一方だけかあるいは両方ともが現在陸上に現れていないことが分かる。このことは、今まで繰り返し指摘されてきたように、地殻変動の地域差によると思われる。すなわち、現在50,000~65,000 年以若の比較的新しい礁複合体が陸上で確認されるのは、地殻変動が活発な地域といえる。このことについては、本島と波照間島の例を比較しながら、次章で述べる。

喜界島の変動史

Fig. 5 は、喜界・波照間両島の琉球石灰岩から 得た 30 万年以若の 230Th/234U サンゴ年代値とそれら試料の採集高度をプロットしたものである。こうしてみると、最終間氷期以若(更新世後期)の 試料の場合、 概して古いものほど 高所に在る 傾向が 認められる。 波照間島では、 $12\sim13$ 万年とおおよそ 21 万年に中心がある 2 群の年代値、すなわち、2 回の間氷期相当の年代値を得ているが (OMURA et al., 1985)、それぞれ現海岸付近からあ

Table 4 Correlation of the uplifted coral reefs on Kikai with the counterparts reported from Hateruma, Huon Peninsula and Barbados.

Stage	Kikai years B.P.	N*	Hateruma years B.P.	N*	Huon Peninsula*** Barbados****
1	38,000—46,000 (41,000±1,000)	7			Reef Complex ∭b
2	50,000—55,000 (53,000±2,000)	9			Reef Complex IV Barbados 0
3	77,000—89,000 (83,000±2,000)	11	69,000—91,000 (81,000±3,000)	7	Reef Complex V Barbados I
4	98,000—104,000 (101,000±3,000)	5	100,000-106,000 $(103,000\pm1,000)$	6	Reef Complex VI Barbados II
5	115,000—138,000 (129,000±2,000)	7	110,000—158,000 (128,000±7,000)	36	Reef Complex VII Barbados III
6	204,000 +23,000 -19,000	1	191,000—256,000 (207,000±3,000)	20	⊚ Kingsland Terr.
7	> 300,000 (400,000—550,000)	13 **	300,000 or more?	1	
		(53)		(70)	

(*, number of samples; **, ESR dates; ***, Bloom et al., 1974, Chappell, 1974 & others; ****, Broecker et al., 1968, Fairbanks & Matthews, 1978, & others.)

る高度までと幅広く産出するのが特徴といえる. 両島の 比較で注目されるのは、同時期に生息していた礁性サン ゴ化石が産出する最高高度に大差が認められることであ る. 例えば、最終間氷期の試料についてみると、喜界島 において, 海抜高度が 200 m を越える地点(AO239 と AO268 の 205 m)からも産出したのに対し、波照間島で 産出地点が 35 m を越えるものはない(これまでの 最高 高度は 126,000±6,000 年の ²³⁰Th/²³⁴U 年代値を示し た AO235 試料の 34 m;未公表データ). この約 170 m の高度差は、 両地域における礁性サンゴの 成育環境 (深度)の違いによるものでは決してない。何故なら、共 生する渦鞭毛藻類の光合成可能範囲に生息範囲が限られ ていることから、多くの造礁性サンゴ類は数 10 m (30~ 50 m) 以浅部でしか成育できないからである. 勿論, 両 島間で、当時の海水面高度が 170 m も違うとは考えら れない. やはり、上記の高度差は、喜界・波照間両島間 における, 地殻変動(殊に, 垂直方向の変動)量の差異に よるといえよう.

小西(1967)が第四紀のサンゴ礁およびそれに伴う浅海 性炭酸塩堆積物を"検潮器"として取り扱い,そのよう な炭酸塩を頂く地域の地殻変動率を算定する一般則を提 唱したことは先に述べた.それによると,隆起や沈降と いった垂直変動量(ΔV)は、(1)ある 石灰岩体が 形成された水深(Ld)、(2)その岩体の現在の分布高度(Le)、および(3)岩体形成時と現在の海水準の差(ΔSL)から、次式によって推定できるとされている(詳しくは、Ko-Nishi et al., 1970、を参照されたい).

$\Delta V = Ld \pm |Le| \pm |\Delta SL|$

また、ある礁性石灰岩体が形成されてから現在に至るまで、連続的に等速で変動してきたような地域では、上式で求められる垂直変動量とその岩体の形成年代(ΔT)から、変動速度(地殻変動率; $\Delta V/\Delta T$)も算定できることになる。小西(1967)も指摘しているように、汀線ないし潮間帯にほとんど一致する堆積物(例えば、サンゴ礁やフジツボ帯など)の場合は、現在の高度をもって過去の海水位とすることができるが、一般に試料はもともと深度 Ld に棲息または堆積したものであり、過去の水準面を考慮するには、この量を厳密に評価しなければならない。しかし、実際は、ある岩体や地層に対するこの Ld 値の見積もりは決して容易ではない。 喜界島の 琉球石灰岩に関しても、形成年代が明らかになったすべての岩体の堆積深度を明確にすることができないのが現状である。

そこで、含有化石種・産出状態およびそれらを含む部

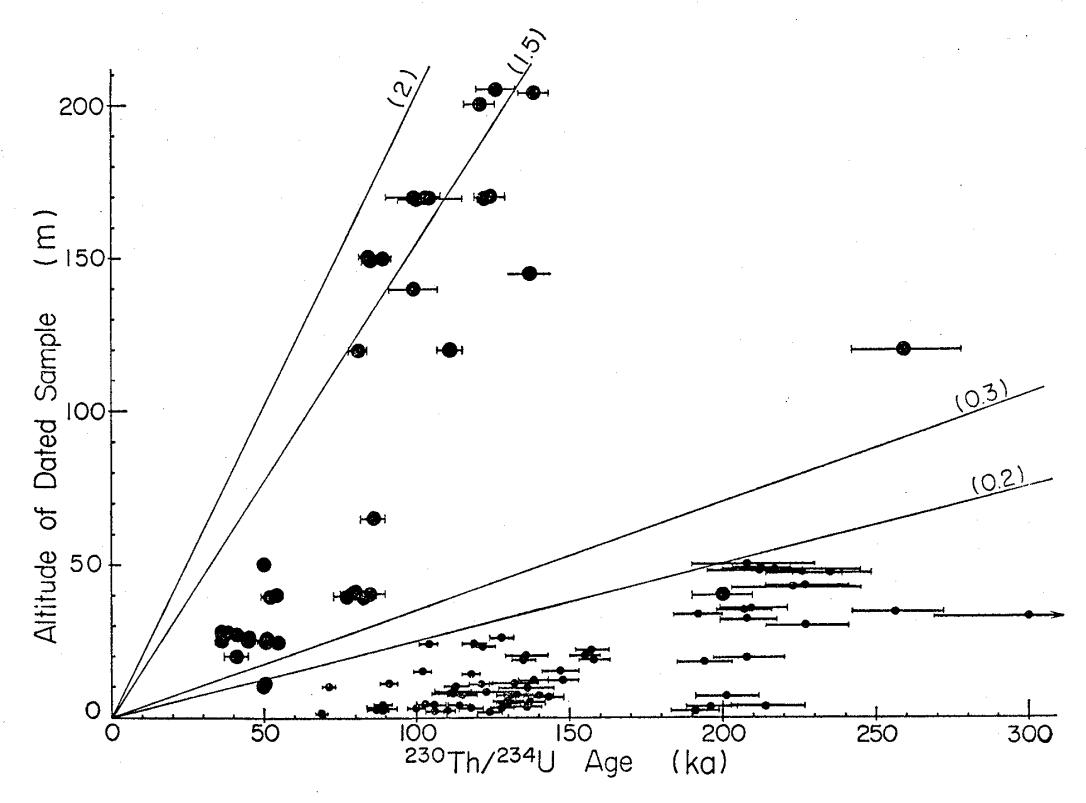


Fig. 5 Age-Altitude relations of coral samples from the Riukiu Limestone in Kikai and Hateruma Islands.

(Small and large circles with error bars mean samples from Kikai and Hateruma Islands, respectively. Numbers in parentheses indicate the rate of uplift in mm/y.)

分の 岩相などから、海水面付近で形成されたと 思われる, Ld 値の見積もりに大きな問題がない岩体のみに、 Konishi et al.(1970)の方法を適用し、喜界島の垂直変動量の推定を試みた(Table 5). 表中には、比較のため、地形学的に 旧汀線高度が 求められている(OTA et al., 1982) 波照間島の結果(OMURA, 1984) も示した.

先に述べたように、喜界島の琉球石灰岩は7回の温暖期に形成された岩体の集合体であるが、それらのうちで、海水面付近で"礁嶺(reef crest)"をなしていた部分を含むのは、 $40\sim55$ 万年前に形成された中部更新統と、Table 5 に挙げた3岩体のみである。しかしながら、中期更新世における海水準が正確に推定されていないため、Konishi et al. (1970)の式を用いて変動量を算出できたのは、 $12\sim13$ 万年前の最終間氷期と、その後の2回の亜間氷期のものだけである。それぞれの時期における海水面高度(ΔSL)としては、Moore(1982)によって示された値を用いた。また、最高分布高度(ΔSL)としては、 ΔSL (ΔSL)をしては、 ΔSL (ΔSL)をして試算を行った。前述のように、 ΔSL (ΔSL)をしては質を行った。前述のように、 ΔSL (ΔSL)をしては質を行った。前述のように、 ΔSL (ΔSL)をしては質を行った。前述のように、 ΔSL (ΔSL)を

 $0\sim10\,\mathrm{m}$ と、考えられる 最大幅を与えているし、 4SL 値の見積もりの 不確かさが $\pm5\,\mathrm{m}$ を超えることはない と思われるので、以下で述べる 4V 推定値に大きな誤り はないといえよう・

垂直変動量 (ΔV) に関する推定値として、いずれの岩 体からも正の値が得られた. このことは, 各岩体が形成 されてから現在までの間に生じた垂直変動量の総和が、 見掛け上隆起を表し、少なくとも過去 12~13 万の間、も し一時的に沈降していた時期があったとしても, 両島に おいての総隆起量が沈降量を決して下回らないことを意 味している. 喜界島と波照間島の両島間で比較すると, 推定された変動量が著しく違い、前者からの推定値が例 外なく 4~6 倍高い. その一方で, 同一地域におけるそ れぞれの岩体から求められた値には、古いものほど若干 大きな値を示す傾向があるものの、とくに際立った差は 認められない. このような見掛けの変動量(△V)が、実 は、過去 12~13 万年間連続的に等速で行われてきた隆 起運動の結果であると仮定し、各岩体の形成年代(4T) を用いて、"変動速度(変動率; $\Delta V/\Delta T$)"も求めた(Table 5). その結果, 両島の間で, やはり変動速度に 大差が 認められ、喜界島が 4~6 倍も速く隆起し続けてきたよ

中部琉球喜界島の地史

Table 5 Ages (ΔT) and values of Ld, Le, ΔSL ΔV and $\Delta V/\Delta T$ for three limestone units on the islands of Kikai and Hateruma.

	ΔΤ	Ld	Le	ΔSL	ΔV	$\Delta V/\Delta T$
Stage	(years)	(m)	Kikai Hateruma (m)	(m)	<u>Kikai</u> Hateruma (m)	Kikai Hateruma (mm/y)
3	83,000	0~10		-20	205~215 43~53	2.5~2.6 0.5~0.6
4	101,000	0~10	<u>195</u> 30	-15	210~220 45~55	$\frac{2.1 \sim 2.2}{0.4 \sim 0.5}$
5	129,000	0~10	<u>225</u> 41	+ 7	218~228 34~44	1.7~1.8 ca. 0.3

(See text for details.)

うにみえる. すなわち, 算出された 見掛けの 年間隆起量が, 喜界島では $1.7\sim2.6\,\mathrm{mm}$, 波照間両島については $0.3\sim0.6\,\mathrm{mm}$ となった.

以上のように、形成年代に 2~3 万年の差があるにも 拘わらず、それぞれの岩体から推定された AV 値にとく に目立った差が認められなかった. そのため、上記のよ うな 仮定の下で 算出された 年間隆起率が、 喜界島では $1.7\sim1.8\rightarrow2.1\sim2.2\rightarrow2.5\sim2.6\,\mathrm{mm/y}$, 波照間島では約 0.3→0.4~0.5~0.6 mm/y と、いずれの 島とも若い岩 体ほど大きな値を示すこととなった. もし, 先の仮定の ように、本当に過去 10 数万年間の変動が連続的な隆起 のみで、しかもその隆起運動が等速で行われてきたのな ら,この結果は,変動率が変化し,最近になるほど隆起 速度が増していることを示唆している。すなわち、等速 運動が真実なら、形成年代に 2~3 万年の差がある各岩 体から推定される変動量(AV)に、明瞭な違いがみられ るはずである. 例えば, 同じ深度で形成された2岩体の 年代に2万年の差があり、両者が 1.7 mm/y の変動率 で隆起しつづけてきた地域にあれば、両岩体の分布地点 の標高差が, 現在では 34 m に達することになる. さら に, 喜界島の琉球石灰岩の場合, 各岩体形成時の海水面 高度差を考慮にいれれば、最終間氷期とそれに引き続く 亜間氷期における両サンゴ礁の現在の分布高度差は、単 純計算で、おおよそ 70 m にも達していなければならな い. しかし, 実際のところは, Le 値として Table 5 に 示したように、 両者の標高差は(225-195=)30 m しか ない、結局は、この大きな不一致の原因として、喜界島 が過去 10 数万年の間, 等速で隆起し続けていないことを挙げねばならない.

波照間島についても、喜界島の場合と同様の傾向が認められた。 しかしながら、推定された変動量 (ΔV) ・変動率 $(\Delta V/\Delta T)$ 値が極めて小さいため、 Ld および ΔSL 値見積もりにおける不確かさの影響が大きく、喜界島から 得られた推定値に比べて、信頼性は高くない。 そこで、変動率として約 0.3 から 0.6 mm/y という推定値が得られたことのみを記し、波照間島の過去 10 数万年間における垂直変動 (隆起) が等速であったか否かをここで論ずることは避ける.

いずれにしても、琉球石灰岩の分布高度などから、喜 界島が過去 10 教万年の間に著しく隆起したことだけは 確かであるが、ここで問題になるのは、喜界島を大きく 隆起させた変動が何時始まったかである. 今のところ, 開始時期を定量的に論ずることはできないが、以下この 点に関する筆者の所見を述べてみたい。ここで注目しな ければならないのは、先に述べた ESR 法で 40~55 万年 前のものとされた中部更新統の分布状態である.この石 灰岩体中に、当時の礁嶺を形成していたと思われる部分 があること、および岩体全体にわたって大型で産出状態 から現地性と判断できる礁性サンゴ化石が多く含まれる ことはすでに述べた、これらの事実は、この岩体が極浅 海環境下で形成されたことを示唆している.その形成当 時から、もし本島が $1\sim2\,\mathrm{mm/y}$ オーダーの変動率で等 速に隆起してきたなら、この温暖期における海水面高度 が現在や最終間氷期の頃に比べ著しく低かった事実もな

いため、50~55 万年前の温暖期生成物は隆起して海抜 数 100 m の高度にまで達し、喜界島全体が現在よりは るかに大きな島になっているはずである.しかし、この ような中部更新統が島の最高所を構成している事実もな く, 現実には最終間氷期の礁性石灰岩によって被われて いる. すなわち, 40~55 万年から 12~13 万年前まで の間, 喜界島が著しく隆起しなかったため, 最終間氷 期における海水準が最高に達した時期には、本島全体が 完全に 海面下に 没したものと 考えられる. 以上のよう に、上部更新統の分布高度などから推定された著しい隆 起運動の開始時期は,数字で明確に示せないものの,少 なくとも 40~55 万年前以降であることは間違いない. その後、変動速度を次第に増しながら、喜界島が隆起し てきたと考えると、Fig. 3 に示した 現在の本島上の琉 球石灰岩を構成する各岩体間の層位学的な関係・それぞ れの岩相や分布状態、さらに上部更新統の各岩体から推 定された ΔV および $\Delta V/\Delta T$ 値などすべてを統一的に 説明できる。 ただし、 おおよそ 20 万年前(酸素同位体 比ステージ 7 相当)の間氷期に、波照間島では現在の島 の中心部を構成するかなりの規模のサンゴ礁が形成され ていたにも拘わらず、喜界島で独立した石灰岩体を残せ る程の規模のサンゴ礁が発達していなかった理由は依然 ・不明のままである.

まとめ

喜界島上の更新統琉球石灰岩から採集した計 53 個の化石サンゴ試料について, ²³⁰Th/²³⁴U 放射年代値を求めた. そのうち一部の試料については, ²³¹Pa/²³⁵U あるいは電子スピン共鳴(ESR)年代も求め, 互いに結果を比較しながら, それぞれの年代値の信頼性を検討した. その結果として得られた主な知見は,以下のようにまとめられる.

- (1) 本島に分布する HANZAWA (1935) の Riukiu Limestone (琉球石灰岩) は、7回の気候温暖期に形成された石灰岩体によって構成されている.
- (2) それら温暖期とは、²³⁰Th/²³⁴U 年代測定により、古いものから 25 万年以上(ESR 法では 40~55 万年)前・おおよそ 20 万年前・12~13 万年前・約 10.1 万年前・約 8.3 万年前・5~6.5 万年前, そしておおよそ4万年前のものである。すなわち、それらは、Emiliani and Shackleton(1974)の酸素同位対比ステージ 5・7 と9あるいはそれ以前に相当する 3 回の間氷期と、ステージ5 から 3 までの間の 4 回の亜間氷期にあたる。
- (3) 更新世中期,おおよそ20万年前,本島付近には,現在独立した石灰岩体を残せる程の規模のサンゴ礁

が発達していなかった. それに対し, 酸素同位対比ステージ9あるいはそれ以前の温暖期に, 鮮新統早町層を基盤とするかなり大規模なサンゴ礁が発達した. この礁複合体が, 現在本島に分布する琉球石灰岩の主部を構成している.

- (4) 12~13 万年前の高海水準期(最終間氷期)に、喜界島は全体が海面下に没し、島の様相を呈していなかった。その後、約 10.2 万年前と約8.3万年前の2回の温暖期に、中部更新統を基盤に裾礁が形成され、本島の面積は順次増加した。しかし、さらに続いて訪れた2回の亜間氷期には、浅海域に礁性サンゴは棲息していたものの、サンゴ礁の形成までには至らなかったと思われる
- (5) このようにして形成された上部更新統は、いずれも薄く現在の地表部を構成するのみで、場所によっては直接中部更新統が地表に露出することなどから、島上に発達する段丘面の一部は侵食地形と考えられる.
- (6) 本島の過去 10 数万年間の隆起量は、波照間島 に比べ 4~6 倍多い、そのことが原因となって、比較的 新しい 5~6.5 万年前やおおよそ4万年前の亜間氷期堆 積物が、島上に露出する.
- (7) 喜界島を大きく隆起させた地殻変動は決して等速運動ではなく、最終間氷期以降その速度を次第に増してきたらしい。また、このような変動の開始は少なくとも、本島の琉球石灰岩の主部を成す中部更新統形成後であろう。すなわち、本島の隆起は ESR 法でサンゴ化石から得られた $40\sim55$ 万年前という年代より新しい時期の出来事だといえよう。

謝 辞 本研究を通し、非常に多くの方々から御親切 な御指導や御協力を得た. とくに, 金沢大学理学部地学 教室の小西健二教授および同学部化学教室の阪上正信教 授からは、 研究開始以来変わらぬ 御指導と 励ましを 頂 いてきた. また, 東北大学理学部地質学古生物学教室の 森 啓 助教授・横浜国立大学教育学部地理学教室の太 田陽子教授・東京都立大学理学部地理学教室の町田 洋 教授には、機会あるごとに種々有益な御意見を承り、石 油公団の辻 喜弘氏からは、数多くの貴重な試料の提供 を受けた. さらに、金沢大学低レベル実験施設の小村和 久助教授には、 ウラン・トリウム同位体の測定に際し, 多大な便宜を計って頂いた. なお, 本文中に引用した ESR 年代値は、ダイヤコンサルタント株式会社の大村 一夫博士と桜本勇治氏によって求められたものである. 本文を終えるにあたり、以上の方々に深く感謝の意を表 する.

文 献

- Bender, M. L., Fairbanks, R. G., Taylor, F. W., Matthews, R. K., Goddard, J. G. and Broecker, W. S., 1979: Uranium-series dating of the Pleistocene reef tracts of Barbados, West Indies. *Geol. Soc. Amer. Bull.*, Part I, **90**, 577–594.
- BLOOM, A. L., BROECKER, W. S., CHAPPELL, J. M. A., MATTHEWS, R. K. and MESOLELLA, K. J., 1974: Quaternary sea level fluctuations on a tectonic coast: new ²³⁰Th/²³⁴U dates from the Huon Peninsula, New Guinea. *Quaternary Res.*, **4**, 185–205.
- Broecker, W. S., Thurber, D. L., Goddard, J., Ku, T. L. and Matthews, K. J., 1968: Milankovitch hypothesis supported by precise dating of coral reefs and deepsea sediments. *Science*, **159**, 297–300.
- CHAPPELL, J., 1974: Geology of coral terraces, Huon Peninsula, New Guinea: a study of Quaternary tectonic movements and sea-level changes. *Geol. Soc. Amer. Bull.*, **85**, 553–570.
- DAVIES, T. T. and HOOPER, P. R., 1963: The determination of the calcite: aragonite ratio in mollusc shells by X-ray diffraction. *Mineral. Mag.*, 33, 608-612.
- EMILIANI, C. and SHACKLETON, N. J., 1974: The Brunhes epoch: isotopic paleotemperatures and geochronology. *Science*, **183**, 511–514.
- FAIRBANKS, R. G. and MATTHEWS, R. K., 1978: The marine oxygen isotope record in Pleistocene coral, Barbados, West Indies. *Quaternary Res.*, 10, 181–196.
- Hanzawa, S., 1935: Topography and geology of the Riukiu Islands. *Sci. Rep.*, *Tohoku Univ.*, 2nd Ser. (Geol.), 17, 1-61.
- IKEYA, M. and OHMURA, K., 1983: Comparison of ESR ages of corals from marine terraces with ¹⁴C and ²³⁰Th/²³⁴U ages. *Earth Planet. Sci. Letters*, **65**, 34–38.
- ————, 1984: Electron spin resonance. in M. R. ZIMMERMAN and J. L. ANGEL (eds) Dating and Age Determination of Biological Materials, 59–125, Croom Helm Ltd.
- JAMES, N. P., MOUNTJOY, E. W. and OMURA, A., 1971: An Early Wisconsin reef terrace at Barbados, West Indies, and its climatic implications. Geol. Soc. Amer. Bull., 82, 2011–2018.
- KAUFMAN, A. and BROECKER, W. S., 1965: Comparison of Th²³⁰ and C¹⁴ ages for carbonate materials from Lake Lahontan and Bonneville. *Jour. Geophys. Res.*, 70, 4039–4054.
- Komura, K. and Sakanoue, M., 1967: Studies on the dating methods for Quaternary samples by natural alpha-radioactive nuclides. *Sci. Rep.*, *Kanazawa Univ.*, 12, 21–66.
- 小西健二, 1967:太平洋域周縁礁性石灰岩の年代測定と

- 地殻変動率一生物源炭酸塩中の天然 α 放射性核種による過去 15 万年までの適用一. 第四紀研究, 6, 207-223.
- Konishi, K., Schlanger, S. O. and Omura, A., 1970: Neotectonic rates in the Central Ryukyu Islands derived from ²³⁰Th coral ages. *Marine Geol.*, **9**, 225–240.
- Radiometric coral ages and sea level records from the Late Quaternary reef complexes of the Ryukyu Islands. *Proc. 2nd Int. Coral Reef Symp.*, **2**, 595–613.
- 小西健二, 1980:隆起サンゴ礁からみた最終間氷期以降 のアジア・フィリピン海プレート境界付近の地史. 第 四紀研究, **18**, 241-250.
- Ku, T. L., 1968: Protactinium-231 method of dating coral from Barbados Island. *Jour. Geophys. Res.*, 73, 2271-2276.
- Uranium in open ocean: concentration and isotopic composition. *Deep-Sea Res.*, **24**, 1005–1017.
- Mesolella, K. J., Matthews, R. K., Broecker, W. S. and Thurber, D. L., 1969: The astronomical theory of climatic change: Barbados data. *Jour. Geol.*, 77, 250–274.
- 中川久夫, 1967: 奄美群島 徳之島・沖永良部島・与論島・喜界島の地質(1). 東北大学地質古生物研邦報・no. 63, 1-39.
- 中川久夫, 1969: 奄美群島 徳之島・沖永良部島・与論島・喜界島の地質(2). 同上. no. 68, 1-17.
- 大村明雄・小西健二, 1970: 化石サンゴの示す見掛けのイオニウム年令の評価. 地質雑, **76**, 389-397.
- OMURA, A., 1976: Thorium and protactinium isotopes in some present-day hermatypic corals and their implications to dating. *Trans. Proc. Palaeont. Soc. Japan.*, N. S., no. 101, 271–290.
- 大村明雄, 1982: Uranium-Series Intercomparison Project (USIP) の活動について、化石, no. 32, 39-47.
- Омика, A. 1983: Uranium-series ages of some solitary corals from the Riukiu Limestone on the Kikaijima, Ryukyu islands. *Trans. Proc. Palaeont. Soc. Japan*, N. S., no. 130, 117–122.
- Limestone on Hateruma Island, Southwestern Ryukyus. *Ibid.* N. S., no. 135, 415–426.
- ———, Tsuji, Y., Ohmura, K. and Sakuramoto, Y., 1985: New data on uranium-series ages of hermatypic corals from the Pleistocene limestone on Kikai, Ryukyu Islands. *Ibid.*, N. S., no. 139, 196–205.
- 太田陽子・町田 洋・堀 信行・小西健二・大村明雄, 1978: 琉球列島喜界島の完新世海成段丘―完新世海面 変化研究への アプローチ―. 地理学評論, **51**, 109-130.
- OTA, Y., HORI, N. and OMURA, A., 1982: Age and

268

deformation of marine terraces of Hateruma Island, Southwestern Japan. Abstract of XI INQUA Congress, Moscow, 2, 232.

Schlanger, S. O. and Konishi, K., 1966: Contrasting bryozoa content of Plio-Pleistocene to present-day carbonates from Guam, Mariana Islands., and Kikai-jima, Ryukyu Islands, and its regional implications. Abstract of Papers, Proc. of the 11th Pacific Science Congress, Tokyo. 4, 35.

THURBER, D. L., 1962: Anomalous ²³⁴U/²³⁸U in nature.

Jour. Geophys. Res., 67, 4518-4520.

POTRATZ, H. A., 1965: Uranium series ages of Pacific atoll coral. Science, 149, 55-58.

VALLENTINE, J. W. and VEEH, H. H., 1969: Radiometric ages of Pleistocene terraces from San Nicolas. Geol. Soc. Amer. Bull., 80, 1415-1418.

VEEH, H. H., 1966: Th²³⁰/U²³⁸ and U²³⁴/U²³⁸ ages of Pleistocene high sea level stand. *Jour. Geophys. Res.*, 71, 3379–3386.